

## 完全粘塑性体として軟岩の構成式について

京都大学工学部 正会員 赤井浩一  
 足立紀尚  
 電力中央研究所 ○西好一

## 1. 序

軟岩は降伏後、ビズミ硬化を呈しつつ顯著な体積膨脹を示すことを実験的に明らかにし、これら実験事実から降伏限界を決定して粘塑性理論によつて構成式を説明した。<sup>1), 2)</sup> 本報告は軟岩の二つより複雑な挙動とより理想化した完全粘塑性体として説明できることを示し構成式を説明し、さらに二つ構成式によつてクリープ破壊に關する議論を行つたものである。この結果は軟岩盤に対する土木構造物、安定問題を論ずる上に有益な知見を示すものと考へる。

## 2. 実験結果

用ひた試料、実験装置は別に報告したものと同じである。<sup>1)</sup> 図-1, 2は初期拘束圧が5ないびく15 kg/cm<sup>2</sup>で行つたクリープ試験結果の一例をクリープ速度と時間の関係として示したものである。これら図には主として降伏後、挙動について示し、他の材料の高応力下でのクリープ特性との類似性が認められる。だが、降伏前は簡単な粘弾性モデルで軟岩のクリープ挙動記述できることをすでに明かにしてある。<sup>3)</sup> 図-3は定常クリープ時のビズミ速度と垂直応力の関係を示す。これが軟岩の降伏後、挙動はBingham流動として示されて、単純ではなく、拘束圧の依存して非線形的特性を有している。

## 3. 構成式

すべくダイレクションを考慮し、ビズミ硬化と加味した構成式を説明する。<sup>1), 2)</sup> したがって、定常クリープに着目した構成式は容易に導かれ、まず実験事実によつて降伏限界の次式で表わす。

$$f_s - K_s = C^+ \cdot \sigma_m \left\{ \frac{1 + \frac{\alpha^2}{C^+} \left( \frac{\sigma_m}{\sigma_m^*} \right)^{\frac{1}{\alpha^2-1}}}{\alpha^2} - K_s \right\} \quad (1)$$

粘塑性理論により構成式を求める際、動的降伏限界の手の方が問題にすぎず、二つ同一式と同型の降伏限界どちらと仮定する。すなばら、

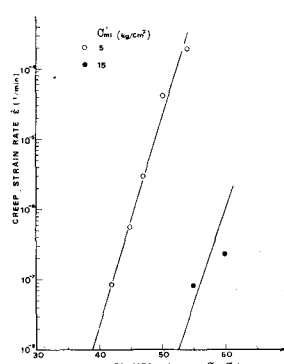


図-3

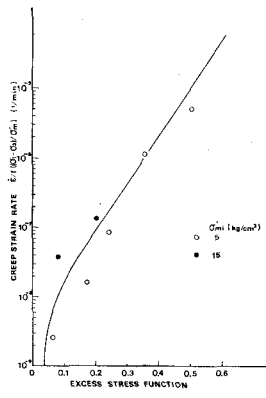


図-4

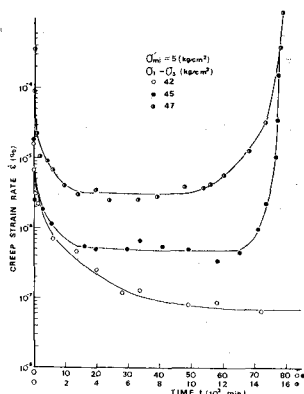


図-1

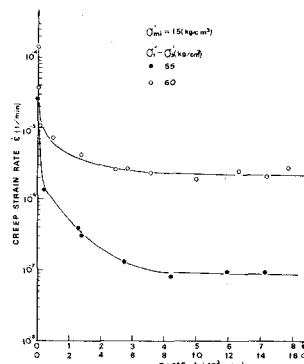


図-2

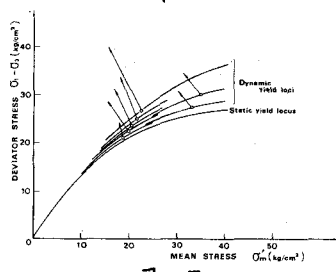


図-5

$$f_d - K_d = C^* \sigma_m' \left\{ \frac{1 + \frac{\alpha^* - 1}{C^*} \left( \frac{\sqrt{\sigma_i}}{\sigma_m'} \right)}{\alpha^*} \right\} \frac{\alpha^*}{\alpha^* - 1} - K_d \quad (2)$$

$$F = K_d / K_s - 1 \quad (3)$$

ここで  $F$  は静的降伏応力と動的降伏応力をの差を表すものであり、完全塑性体と考へる場合はビズミ依存しないパラメータと考へられる。これにから次の構成式が求まる。

$$\dot{\epsilon}_d^{dp} = \gamma < \bar{\epsilon}(F) > f \left( \frac{\sqrt{\sigma_i}}{\sigma_m'} \right) \cdot \left[ \left( \frac{C^* - 1}{C^*} \frac{\sqrt{\sigma_i}}{\sigma_m'} \right) \frac{S_1}{3} + \frac{S_2}{\sqrt{\sigma_i}} \right] \quad (4)$$

$$f \left( \frac{\sqrt{\sigma_i}}{\sigma_m'} \right) = \left[ \left( 1 + \frac{\alpha^* - 1}{C^*} \left( \frac{\sqrt{\sigma_i}}{\sigma_m'} \right) \right) / \alpha^* \right] \frac{1}{\alpha^* - 1} \quad (4')$$

(4), (4') 式より載荷速度三軸圧縮条件での式(5)が得られる。

$$\dot{\epsilon}_d^{dp} = \sqrt{\frac{2}{3}} \cdot \gamma < \bar{\epsilon}(F) > f \left( \frac{\sigma_i - \sigma_3}{\sigma_m'} \right) \quad (5)$$

クリープ時は応力条件が既知であるから  $\bar{\epsilon}(F)$  実験で容易に決定される。

図-4 は図-1, 2 から決定される  $F$  と  $\dot{\epsilon}_d^{dp} / f \left( \frac{\sigma_i - \sigma_3}{\sigma_m'} \right)$  の関係を表すが、これが  $\sigma_1 - \sigma_3$  に対して近似として式(6)を得る。

$$\bar{\epsilon}(F) = C_2 \exp(\delta_2 F) \quad (6)$$

ここで  $C_2, \delta_2$  は材料定数である。結局、完全塑性体としてとき軟岩の構成式は(5), (6)式から式としてまとめられる。

$$\dot{\epsilon}_d^{dp} = \sqrt{\frac{2}{3}} \cdot \gamma < \bar{\epsilon}(F) > f \left( \frac{\sigma_i - \sigma_3}{\sigma_m'} \right) \quad (7)$$

図-5 は定常クリープ時ヒズミ速度の方向を応力平面上 ( $\sigma_i - \sigma_3, \sigma_m'$ ) に示してあるが Normality の条件とはば満足、(2)式の動的降伏曲面の妥当性がうながされる。

#### 4. 軟岩のクリープ破壊予測

軟岩は降伏強度以上の応力が作用すると応力レベルに応じてヒズミ速度で漸加し、ある時間経過後クリープ破壊に至る。図-6 は軸差応力 ( $\sigma_i - \sigma_3$ ) と定常クリープ開始時ヒズミ速度  $\dot{\epsilon}_s, \dot{\epsilon}_a$  (7) の関係を示したものである (ただし、 $\sigma_m' = 5 \text{ kg/cm}^2, \sigma_i - \sigma_3 = 42 \text{ kg/cm}^2$  と  $\sigma_m' = 15 \text{ kg/cm}^2, \sigma_i - \sigma_3 = 55 \text{ kg/cm}^2$  の場合、今圖の計測範囲ではクリープ破壊に至らなかった)。この圖から、加速クリープ開始時ヒズミ量で破壊を規定することができると思われる。図-7 は拘束圧  $\sigma_m' = 5 \text{ kg/cm}^2$  における定常クリープヒズミ速度  $\dot{\epsilon}_s$  と破壊時間  $t_p$  および加速クリープ開始時間  $t_a$  との実験結果を示したものである。この圖から粘性土に対して一般的成立するといわれてある次の実験式が得られる。

$$\dot{\epsilon}_s \cdot t_p = \text{const.}, \quad \dot{\epsilon}_s \cdot t_a = \text{const.} \quad (8)$$

この関係は拘束圧  $\sigma_m' = 15 \text{ kg/cm}^2$ 、軸差応力 ( $\sigma_i - \sigma_3$ ) =  $60 \text{ kg/cm}^2$  のもとで同じ直線上にあり、拘束圧には依存しないようである。定常クリープ時ヒズミ速度は(7)式で評価される。上式は次式のように表わされる。

$$t_p = \text{const.} / \sqrt{\frac{2}{3}} \cdot \gamma \cdot C_2 \cdot \exp(\delta_2 F) f \left( \frac{\sigma_i - \sigma_3}{\sigma_m'} \right) \quad (9)$$

(8), (9) 式は現地ヒズミ速度の計測によって、地盤の破壊時間を予測する。有効な手段と考へられ地盤の崩壊等の利用されている。一方、破壊時間が応力により規定される(10)式によると、あらかじめ地盤内の応力分布を推定することになり、クリープ破壊を予測できることを示している。いずれにしても、実際の境界値問題を解析するためには構成式が必要であって、單に(7)式で予測すれば意味がない。

#### 参考文献

- 1) 赤井, 足立, 西, (1975) "軟岩の降伏特性", 第10回土質工学研究発表会講演集, pp. 791~794.
- 2) 赤井, 足立, 西, (1975) "軟岩のクリープ特性", 第10回土質工学研究発表会講演集, pp. 795~798.
- 3) 有藤 (1968), "斜面崩壊発生時期の予知に関する研究", 鉄道技術研究所報告 No. 626

